

بررسی تواویی گرانیت میلیونیتی ده زمان بر اساس کرنش بلورهای فلدسپار

زهره سودمند^۱، سعید معدنی پور^{*}^۱، رضا نوزعیم^۲

۱- گروه زمین‌شناسی، دانشکده علوم پایه، دانشگاه تربیت مدرس

۲- دانشکده زمین‌شناسی، پردیس علوم، دانشگاه تهران

(دریافت مقاله: ۱۴۰۰/۹/۲، نسخه نهایی: ۱۴۰۰/۱۱/۳۰)

چکیده: گرانیت میلیونیتی ده زمان در شمال غرب قطعه لوت (پهنه کاشمر-کرمان) و منطقه کوه سرهنگی واقع است. در این توده گرانیتی به سن پرکامبرین پسین (۵۶۱-۵۵۷ میلیون سال)، برگوارگی میلیونیتی با راستای ۱۲۰ درجه و شب ۸۰ درجه به سمت جنوب شرق به خوبی گسترش یافته است. زاویه افتادگی خطواره کششی تا حدود ۴۰ درجه به سمت جنوب شرق است. در این پژوهش، بزرگی تواویی در گرانیت میلیونیتی ده زمان بر اساس کرنش بلورهای فلدسپار بررسی شد. شواهد ریزساختاری آواری‌های فلدسپاری نشان‌دهنده همسویی برش‌ها به صورت راستالغاز چپ‌گرد در منطقه است. شواهد ریزساختاری پورفیری آواری‌های به نسبت شکل‌دار فلدسپار و همچنین بازتلور دینامیکی از نوع مهاجرت مرزدانه بیانگر دمای دگریختی حدود ۴۵۰°C به صورت یک میلیونیت درجه پایین تا متوسط هستند. عدد تواویی این گرانیت میلیونیتی بر اساس نتایج برآمده از کرنش بلورهای فلدسپار ۰/۸ براورد شد که نشان‌دهنده غلبه مؤلفه برش ساده (۰/۶۰) بر برش محض (۰/۴۰) طی گسترش ساختار میلیونیتی در شرایط ترا فشارشی است.

واژه‌های کلیدی: کرنش؛ تواویی؛ ترافشارش؛ میلیونیت ده زمان؛ قطعه لوت.

زمین‌ساختی کاشمر-کرمان قرار دارد. این منطقه به طول ۷۵ کیلومتر و عرض ۱۰ تا ۲۰ کیلومتر به صورت گوهای کشیده در $10^{\circ}-58^{\circ}$ - 57° طول شرقی و $3^{\circ}-35^{\circ}$ عرض شمالی واقع است (شکل‌های ۲ و ۱). دگرشكلي در اين منطقه طی مراحل مختلف پس از پرکامبرین به صورت شکنا و نيز شكل-پذير است. از نظر سنگ‌شناسی، در منطقه انواع سنگ‌های آذرین، رسوبی و دگرگونی بشدت دگریخت شده طی مراحل مختلف کوه‌زایی وجود دارند که با آرایش نواری و به صورت دوگانه‌های راستالغاز دیده می‌شوند (شکل ۲). پهنه برشی کوه سرهنگی بیشتر از توالی‌های آذرین، رسوبی و دگرگونی پرکامبرین پسین-پالئوزوئیک آغازین تشکیل شده است. قدیمی‌ترین واحدهای سنگ‌چینهای منطقه را اسلیت‌ها، متابازیتها و میکاشیست‌ها تشکیل می‌دهند که وابسته به پرکامبرین پسین هستند (شکل ۲).

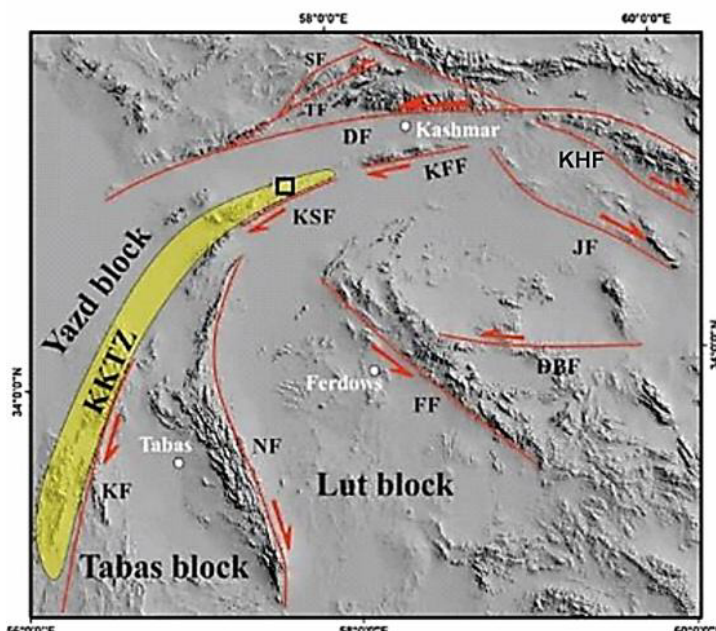
مقدمه

ایران مرکزی از جمله خرده قاره‌های کوه‌زایی سیمیرین است که طی جدایش از ابرقاره گندوانا و حرکت به سمت کرانه جنوبی اوراسیا سبب بسته شدن اقیانوس پالئوتیس در شمال و پیدایش اقیانوس نئوتیس در بخش جنوبی این خرده قاره شده است [۱-۵]. آثار و بقایای حوضه‌های اقیانوسی بیان شده بین قطعه‌های قاره‌ای به صورت مجموعه‌های افیولیتی در راستای کرانه شمالی البرز (پالئوتیس)، زاگرس و پیرامون خرده قاره ایران مرکزی (نئوتیس) بروزد دارند. پهنه زمین‌ساختی کاشمر-کرمان [۶] از جمله پهنه‌های برشی شکل‌پذير و دارای بروزد سنگ‌های آذرین و دگرگونی پرکامبرین پسین است که دستخوش دگرشكلي شدیدی شده‌اند (شکل ۱). در این میان، منطقه کوه سرهنگی به عنوان بخشی از ارتفاعهای ایران مرکزی و یک منطقه نه‌چندان شناخته شده به صورت یک پهنه برشی راستالغاز با راستای N70E در بخش شمال شرقی پهنه‌ی

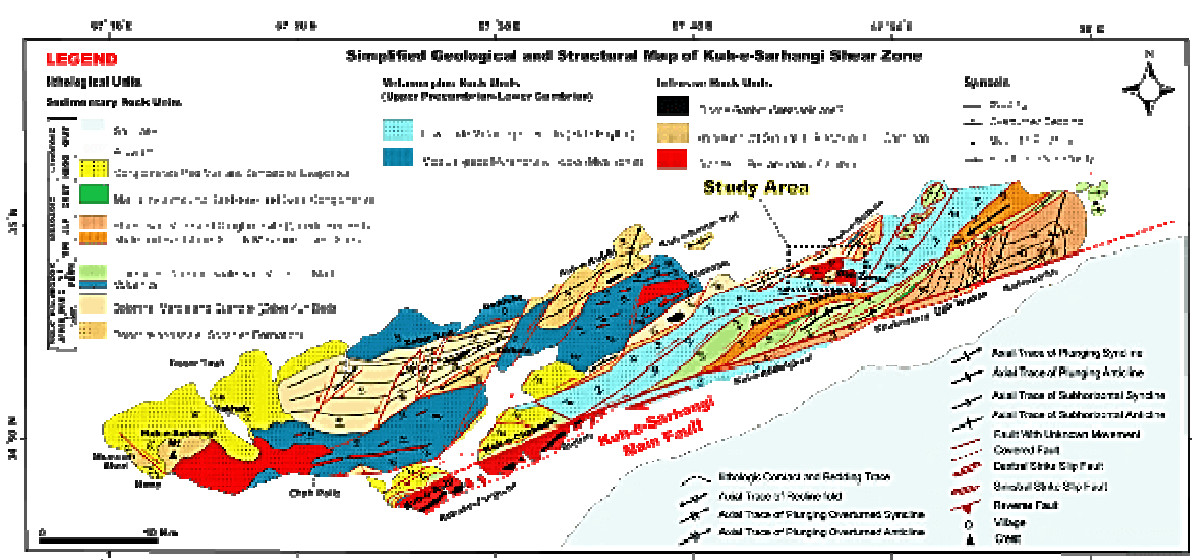
*نویسنده مسئول، تلفن: ۰۲۱۸۲۸۸۴۷۷۱، نمایش: ۰۲۱۸۲۸۸۳۴۶۰، پست الکترونیکی: madanipour.saeed@modares.ac.ir

جهتدار از گرانیت میلیونیتی ده زمان انجام گردید. در مقاطع نازک، ریزساختارهای موجود در میلیونیت براساس دستورالعمل‌های استاندارد مرجع [۷] بررسی شدند. برای اندازه‌گیری و تعیین درجه بیضوی بودن بلورهای کرنش یافته JMicrovision فلدوپار و تعیین کمی تواویی از نرم‌افزارهای EllipseFit، اکسل استفاده شده است.

با وجود انجام پژوهش‌های زمین‌شناسی پیرامون منطقه کوه سرهنگی و گرانیت ده زمان، تحلیل ساختاری گرانیت میلیونیتی ده زمان نیازمند بررسی‌های جنبش‌شناسی دقیق و کمی تواویی برای تعیین درصد مشارکت دگرشکلی برش محض و برش ساده در جریان دگرشکلی است. برای این منظور، پس از بررسی‌های کتابخانه‌ای و مرور مراجع علمی موجود، عملیات صحرایی برای برداشت‌های ساختاری و تهیی نمونه‌های



شکل ۱ پهنه‌های ساختاری شرق ایران مرکزی و موقعیت منطقه کوه سرهنگی (مستطیل مشکی‌رنگ)، (SF) گسل سبه، (TF) گسل تکنار، (DF) گسل درونه، (JF) گسل تراستی جنگل، (NF) گسل فردوس، (KF) گسل کلمرد، (KSF) گسل کوه فغان، (KKTZ) گسل دشت بیاض، (KHF) گسل کوه هفت‌پیک، (DBF) گسل خوف، (FF) گسل ناییند، (FF) گسل فردوس، (KFF) گسل کوه کاشمر- کرمان.



شکل ۲ نقشه ساده زمین‌شناسی و ساختاری پهنه سرهنگی و موقعیت گرانیت ده زمان.

مکانیکی حاکم بر دگریختی بررسی گردید.

زمین‌شناسی منطقه ده زمان

گرانیت ده زمان به سن پرکامبرین پسین [۱۲]، در شمال شرقی پهنه برشی کوه سرهنگی و در جنوب غرب شهرستان بردسکن قرار دارد (شکل‌های ۲ و ۳) و متشکل از توالی‌های سنگی گرانیتی میلونیتی شده، رخسارهای رسوبی پرکامبرین پسین و کامبرین پیشین و همچنین متاپلیت‌های پرکامبرین که بیشتر دارای همبrijی گسلی هستند، تشکیل شده است (شکل ۳). مرز شمالی آن به واحدهای رسوبی پرکامبرین پسین-کامبرین پیشین (سری زبرکوه) و مرز جنوبی آن به تخته سنگ‌های پرکامبرین محدود است. سنگ‌های آذرین و دگرگونی پرکامبرین پسین-کامبرین پیشین در این منطقه رخمنون گستردگی دارند. انواع سنگ‌شناسی‌های شیست به صورت شیست گارنتدار، میکا شیست، شیست میلونیتی، تخته‌سنگ و متاتوف در منطقه آشکارا دیده می‌شوند. شواهد دگریختی و میلونیتی شدن به طور گسترده در منطقه وجود دارند. بر اساس برداشت‌های میدانی انجام شده از گسترش برگوارگی میلونیتی در منطقه، تمرکز برگوارگی بیشتر در بخش نیمه جنوبی منطقه است. بر پایه بررسی‌های پیشین و بازدیدهای صحراوی، گرانیت ده زمان به دو رنگ تیره و روشن به ترتیب از نوع گرانیت نیمه روشن و گرانیت تمام تیره دیده می‌شود و سنگ‌شناسی دولومیتی در برخی نقاط به چشم می‌خورد. در منطقه ده زمان، بروزندهای گستردگی از واحدهای آتشفسانی آهن‌دار سیلورین وجود دارد که اکنون کانسار آهن آن استخراج می‌شود (شکل ۴؛ کانسار آهن ده زمان یا الله‌آباد) [۱۰].

نتایج

بررسی‌های میکروسکوپی و شواهد ریزساختاری پورفیری آواری‌های فلدسپار

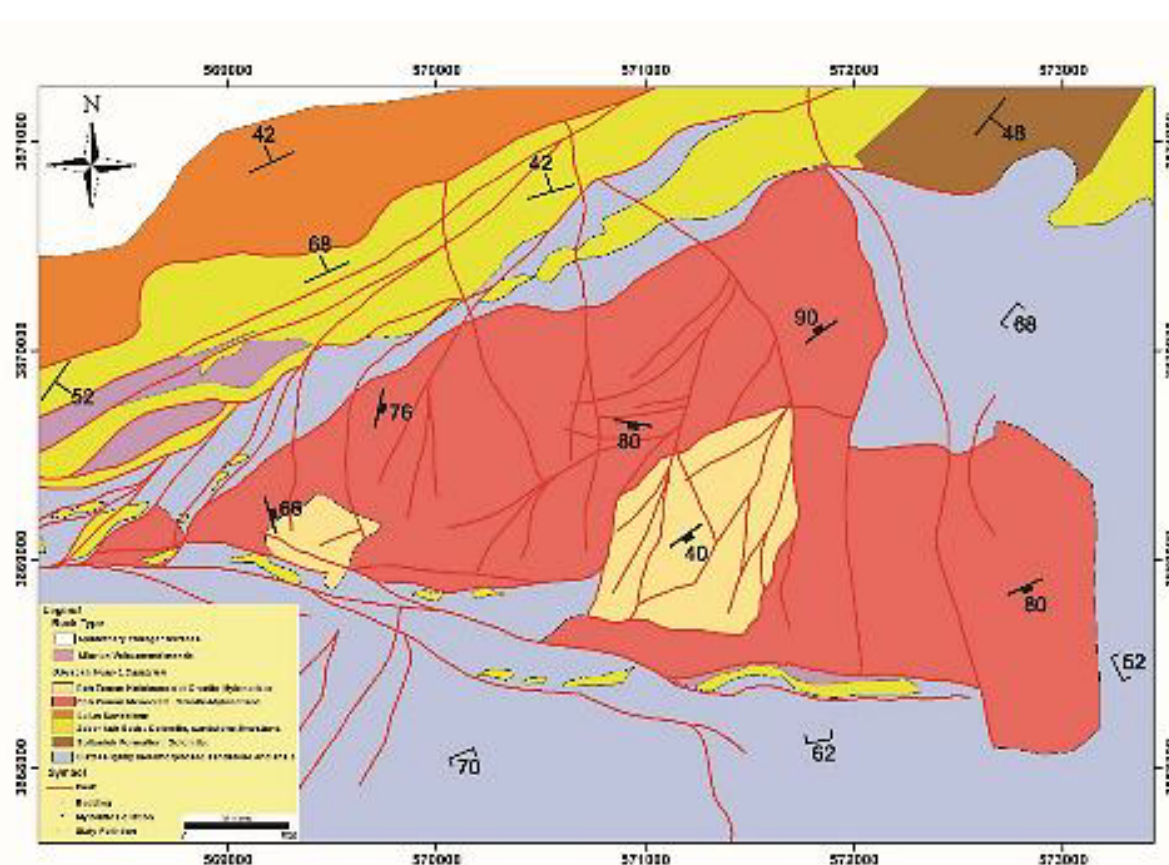
بررسی شرایط دگریختی بر اساس کرنش بلورها از جمله فلدسپارها رایج است [۷، ۱۰، ۱۶، ۱۷]. از عناصر بافتی شاخص میلونیتها وجود پورفیری آواری‌هایی در زمینه دانه‌ریزتر است. در بیشتر گرانیت‌های میلونیتی بلورهای فلدسپار به علت مقاومت بیشتر، پورفیری آواری‌ها یا ساختار هسته‌ای را می‌سازند. آواری‌ها نسبت به زمینه در برابر دگریختی مقاومت بالاتری از خود نشان می‌دهند [۱۸].

پیشینه پژوهش‌ها

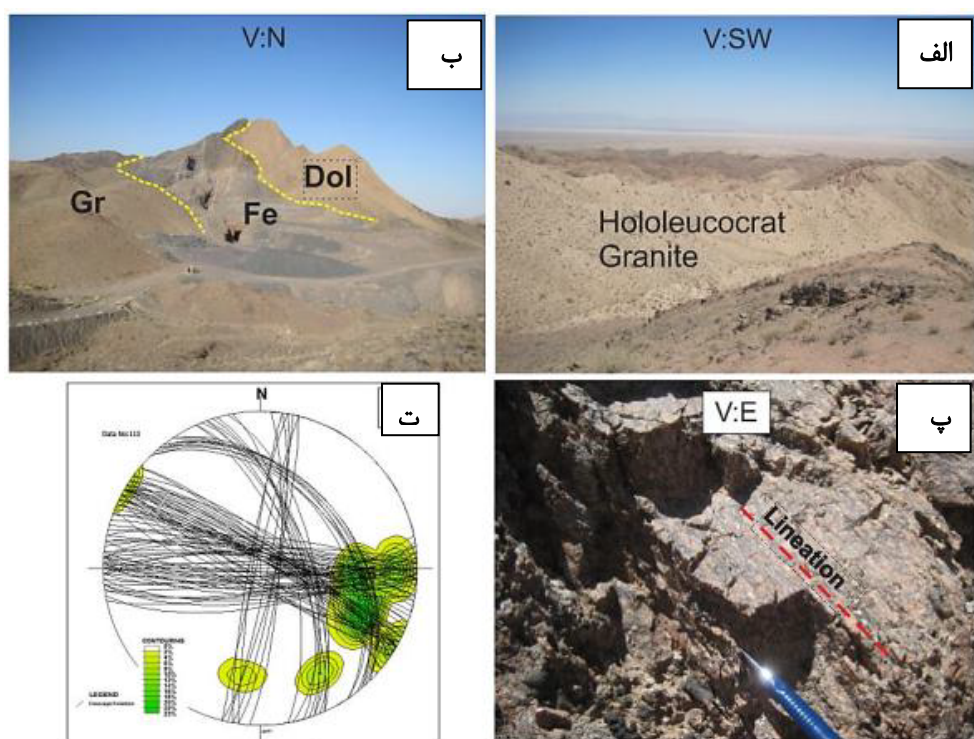
بررسی‌های زمین‌شناسی صورت گرفته در شمال غرب قطعه لوت بیشتر در قالب تهیه نقشه‌های زمین‌شناسی و همچنین برخی پژوهش‌های دانشگاهی در دهه‌های اخیر بوده‌اند که در ادامه بیان می‌شوند تهیه نقشه ۱:۲۵۰۰۰ فردوس و ۱:۱۰۰۰۰۰ ازبک کوه را شاید بتوان نخستین بررسی‌های زمین‌شناسی انجام شده در منطقه در نظر گرفت [۹، ۸]. نوزعیم [۱۰] در قالب رساله دکتری دگریختی و تکامل ساختاری منطقه کوه سرهنگی در واحدهای سنگی، پی‌سنگی و نهشتلهای نئوژن-کواترنری را بررسی کرد. نوزعیم و همکاران [۱۱] ویژگی‌های ریزساختاری و دمای دگریختی گرانیت میلونیتی ده زمان را بررسی کرد که بر اساس تغییرشکل بلورهای کوارتز و فلدسپار، دمای دگریختی گرانیت ده زمان $300 - 500^{\circ}\text{C}$ برآورد شد. همچنین گرانیت ده زمان یک میلونیت درجه پایین تا متوسط است و تشکیل آن طی برش راستالفرز چپ‌گرد می‌تواند در ارتباط با کوهزاری کاتانگایی در ایران مرکزی باشد.

روزتی و همکاران [۱۲] با سنجی گرانیت‌ها به روش U/Pb ، سن تقریبی تشکیل گرانیت‌ها را در گستره زمانی $520 - 550 \text{ Ma}$ گزارش کردند. همچنین سن دو توده نیمه‌روشن و روشن موجود در ده زمان به ترتیب حدود $40 \pm 557\text{e}^{\pm 30}$ و 5610 ± 30 میلیون سال به دست آمد که می‌تواند در ارتباط با فرورانش اقیانوس پرتوتیس باشد. نوزعیم و همکاران [۱۳] بر اساس بررسی‌های ساختاری و ریخت زمین‌ساختی در منطقه کوه سرهنگی، افزون بر اثبات وجود برش راست‌گرد پسانثوژن در شمال غرب قطعه لوت، الگوی زمین‌ساخت فراری درون ورقی فرار قطعه‌ای^۱ را برای توجیه همسایگی گسل‌های راست‌گرد این ناحیه با گسل چپ‌گرد درونه ارائه نمودند.

رحیمی دهگلان [۱۴] کرنش نهایی در برگه قاسم‌آباد (نیمه شمال شرقی منطقه کوه سرهنگی) را بررسی کرد. او گسل‌های منطقه را در افزایش شدت کرنش مؤثر می‌داند. سودمند [۱۵] نیز کرنش گرانیت میلونیتی ده زمان، گستره کوه سرهنگی در شمال غرب قطعه لوت را بر اساس شواهد دگریختی کانی‌های کوارتز و فلدسپار را بررسی کرد. در این پژوهش که در تکمیل بررسی‌های نوزعیم (۱۳۹۱) [۱۰] انجام شد، افزون بر تعیین دقیق‌تر دمای دگریختی، پارامترهای کرنش و همچنین شرایط



شکل ۳ نقشه زمین‌شناسی- ساختاری گرانیت ده زمان (برگرفته از مرجع [۱۰]).



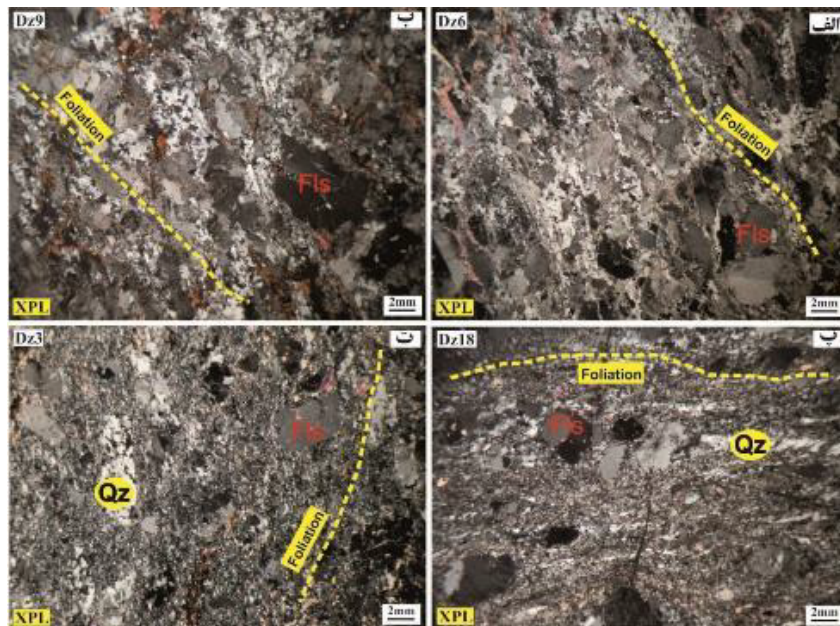
شکل ۴ (الف) گرانیت روشن ده زمان، (ب) سنگشناسی دولومیت و گرانیت در کنار کانسار آهن، (پ) گسترش برگوارگی میلونیتی در گرانیت ده زمان، (ت) شکل بر جسته‌نمگاری برگوارگی در منطقه، (دولومیت: Dol، گرانیت: Fe، آهن: Gr، گرانیت تمام تیره: V:E).

آواری) دیده شد. در نیمی از مقاطع نازک تهیه شده از نمونه های منطقه شامل کوارتز، فلدسپار و میکا هستند گاهی با مقدار بالای میکا برگوارگی آشکارا دیده شده و قطعه های پورفیری آواری های کوارتزی به چشم می خورند. اغلب مقاطع نازک تهیه شده از گرانیت ده زمان دانه ریز هستند که دو دلیل می توان برای این امر بیان کرد. تخته سنگ ها در منطقه حضور گسترده ای دارند و از قدیمی ترین واحد های سنگ چینه ای منطقه وابسته به پر کامبرین پسین هستند. سنگ مادر این

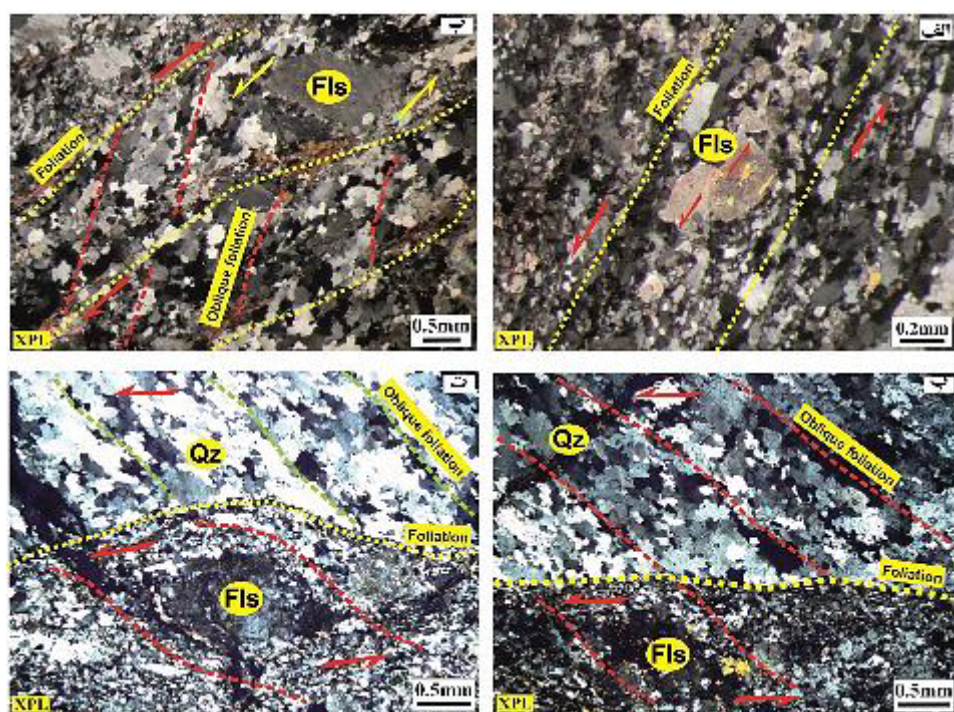
در مقاطع نازک مورد بررسی، پورفیری آواری های فلدسپار دارای شکستگی و تنفس آوار هستند و در آن ها اجزاء گوشیدارتر با اندازه های مختلف و لبه های بریده شده درون خمیره دانه ریز قرار دارند (شکل های ۶ الف و ب). گاه شکستگی هایی که بلور را به دو قسم تقسیم نموده اند دیده می شوند. در برخی قطعه های بزرگ و یا پورفیری آواری ها، گستاخی های جوش خورده توسط بلور های ریزدانه جدید ناشی از باز تبلور وجود دارند (شکل های ۶ پ و ت). تغییرات در اندازه بلور های جدید بسیار جزئی است. بلور های فلدسپار خاموشی موجی دارند که بیانگر شدت دگر ریختی کمتر است. همچنین این کانی ها ساختار های نامتقارن چون زیگما (شکل های ۶ پ و ت)، زیگموئید و ساختار های دومینو تشكیل می دهند. هم بری بلور های قدیمی و کمتر دگر ریخت، نامنظم و در بلور های جدید به حالت گرد است. مرزها دارای فرو رفتگی های دندانه دار ریز هستند و از حالت زاویه دار خارج شده اند.

مقاطع جهت دار تهیه شده از نمونه های منطقه مورد بررسی بیشتر دارای خمیره شامل کوارتز، فلدسپار و میکا هستند گاهی با مقدار بالای میکا برگوارگی آشکارا دیده شده و قطعه های پورفیری آواری های کوارتزی به چشم می خورند. اغلب مقاطع نازک تهیه شده از گرانیت ده زمان دانه ریز هستند که دو دلیل می توان برای این امر بیان کرد. تخته سنگ ها در منطقه حضور گسترده ای دارند و از قدیمی ترین واحد های سنگ چینه ای منطقه وابسته به پر کامبرین پسین هستند. سنگ مادر این تخته سنگ ها رسوب های آذر آواری ناشی از آتش فشان های زیر دریایی هستند. دلیل دیگر می تواند فرآیند میلونیتی شدن و برش خوردگی به صورت چپ گرد و راست گرد بارها در دوره ها و زمان های مختلف باشد که شواهد ساختاری آن ها در پژوهش های پیشین موجود است [۱۰]؛ بنابراین علت وجود فرامیلونیت ها (میلونیت های با درصد خمیره بالا) افزون بر داشتن سنگ مادر ریزدانه، بطور ویژه به برش خوردگی مربوط است.

بر اساس تقسیم بندی های ارائه شده در مراجع [۲۱-۱۹] با در نظر گرفتن نسبت پورفیری آواری های موجود به زمینه، مقاطع تهیه شده برای تعیین نوع میلونیت بررسی شدند. در این مقاطع، بر اساس نسبت پورفیری آواری ها به زمینه سه حالت میلونیت اولیه (با درصد پورفیری آواری بیشتر) مانند شکل های ۵ الف و ب، میلونیت (برابری تقریبی درصد آواری به زمینه) مانند شکل های ۵ پ، ت و فرامیلونیت (با درصد خمیره بیش از



شکل ۵ شواهد میکروسکوپی نوع میلونیت ده زمان بر اساس تقسیم بندی های استاندارد (کوارتز: Qz، فلدسپار: Fls).



شکل ۶ مجموع شواهد برش چپ گرد در بلورهای فلدسپار: (الف، ب) ساختار دومینو و افتادگی قطعه‌ها به صورت چپ گرد، (پ و ت) جهت‌گیری چپبر پورفیری آواری‌های فلدسپار به صورت ریزساختار زیگما.

کشسان، اصطکاک، جریان دانه‌ای و جریان تنش‌آواری در سنگ‌ها نمود می‌یابد. دگرشکلی شکل‌پذیر بلور باعث تغییر در شکل بلور بدون تغییر در ماهیت آن می‌شود. بازتبلور از سازوکارهای دگرشکلی درون بلوری است که طی آن براثر انتقال مرز و چرخش دانه‌های اولیه، بلورهای جدید شکل می‌گیرند. بررسی‌های انجام‌شده روی میلیونیت‌ها در پهنه‌های برشی شکل‌پذیر نشان داده است که در تشکیل این سنگ‌ها جریان‌یافتنگی شکل‌پذیر، کاهش اندازه ذرات و بازتبلور پویا بسیار اهمیت داشته‌اند. در گرانیت‌ها، پورفیری‌آواری‌های فلدسپاری به دلیل مقاومت برشی بالا در برابر دگریختی و بازتبلور مقاوم‌تر هستند و بیش از سایر کانی‌ها به صورت شکنا دگریخت می‌شوند [۱۸].

در مقاطع نازک جهت‌دار تهیه شده از نمونه‌های منطقه، پورفیری آواری‌های فلدسپار دارای شکستگی و تنش‌آواری هستند و خاموشی موجی محلی از خود نشان می‌دهند. برخی مرزها دارای فرورفتگی‌های دندانه‌دار ریز هستند و از حالت زاویه‌دار خارج شده‌اند. هم‌بُری بلورها نامنظم و در مقیاس بلورهای جدید به حالت گرد است. بلورهای جدید ناشی از بازتبلور به صورت دانه‌های کوچک انباسته در میان بلورهای

ساختارهای دومینو در گرانیت میلیونیتی ده زمان در قطعه‌های فلدسپاری گاه به صورت هم‌شیب (شکل ۶ الف) با برش دیده می‌شوند، به‌طوری‌که دو قطعه بدون فاصله از هم قرار دارند و زاویه قرارگیری آن‌ها با برگوارگی عمومی کم شیب است (شکل ۶ الف).

همچنین ریزساختار زیگما در بلورهای فلدسپار دیده می‌شود. دانه‌ریز بودن زمینه در تشکیل این نوع ریزساختار مهم است. اگر زمینه از جنس پورفیری آواری باشد و یا کانی در پاسخ به برش مقاومت چندانی نداشته باشد، می‌تواند ساختار هسته‌گوشته مشخصی تشکیل شود. در زیگماهای فلدسپار به دلیل غنی بودن زمینه از کوارتز، افزون بر تشکیل ریزدانه‌های جدید، پوشش چندانی به چشم نمی‌خورد (شکل‌های ۶ پ و ت). با توجه به مجموعه شواهد موجود در این پژوهش و نیز در پژوهش‌های پیشین در مورد ریزساختارهای فلدسپاری در گرانیت میلیونیتی ده زمان، راستای برش ثبت شده در ریزساختارهای این کانی چپبر است (شکل ۶ [۱۰]).

بازتبلور در فلدسپار

اغلب سازوکارهای دگرشکلی باعث تشکیل برخی ریزبافت‌ها در سنگ‌ها می‌شوند. دگرشکلی در دمای پایین به صورت رفتار

آن‌ها برای تعیین تاریخ دگرشكلي براساس متوسط چرخش در سنگ‌ها استفاده کرد. دایک‌ها و رگه‌های دگرريخت، پورفيري آواری‌های سخت، شکfte بلورها، جهت‌گيری محورهای نوری (محور σ) کوارتزها، برگوارگی ماکروسکوبی، برگوارگی مایل، نوارهای برشی، رگه‌های کششی و استیلولیت‌ها براساس روش-های مختلف برای محاسبه تواویی استفاده می‌شوند.

استفاده از پورفيري آواری‌ها در زمینه جريانی برای محاسبه تواویی بهمنظور برآورد نقش نسبی برش محض و برش ساده که به صورت نافذ دگرشكلي شده‌اند، بسیار مهم است [۲۴]. مدل‌های چرخش اشیای بیضوی در یک مایع این امر را اثبات می‌کند که طی یک برش ساده وقتی که تواویی برابر با ۱ است، اشیای صلب صرف‌نظر از نسبت قطری (درجه بیضی بودن، R) به طور غیرمحدود می‌چرخد؛ با افزایش نقش نسبی برش محض ($W_k < 0$), پورفيري آواری‌ها همراستا با مؤلفه برش ساده (رو به جلو) و یا برخلاف آن (به سمت عقب) می‌چرخد تا به جهت‌گیری ثابت در راستای R و W_m (عدد تواویی سینماتیکی میانگین) ثابت برستند (شکل ۸) [۲۵].

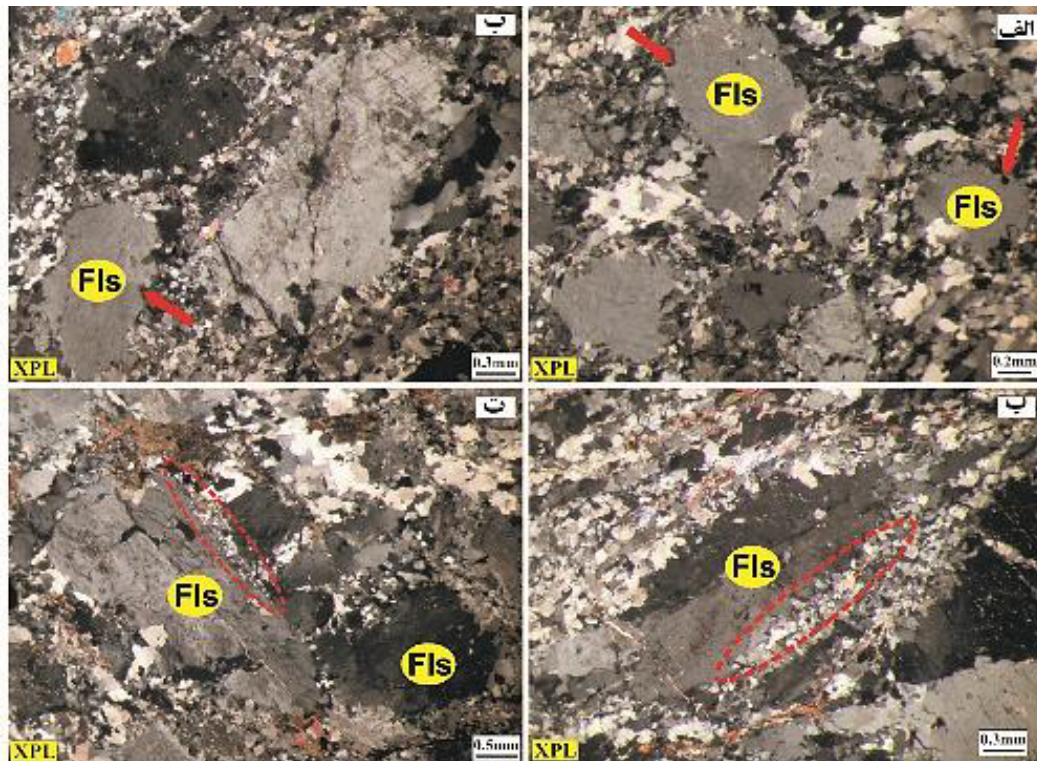
قدیمی و در لبه دیده می‌شوند. بیانگر بازتابلور نوع دماپایین یا برآمدگی (BLG) است (شکل ۷).

تحلیل تواوی

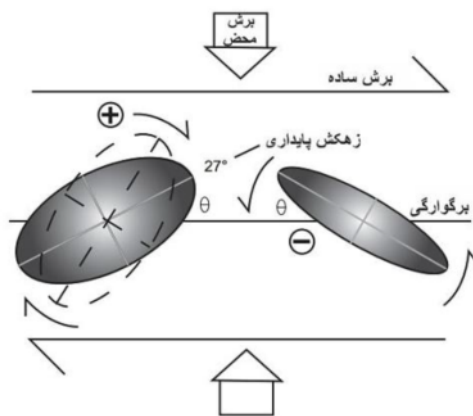
تواویی نسبت اندازه چرخش جریان و پارامتری بدون بعد است که براساس نسبت کوتاه شدگی به جابه‌جایی تعیین می‌شود [۲۲]. به بیان ساده‌تر، تواویی نشان‌دهنده چرخش درونی طی دگرشكلي است. گستره تغییرات این پارامتر بین ۰ تا ۱ بوده و مقادیر صفر نشان‌دهنده برش محض (به عنوان دگرريختی پیشرونده هم‌محور) و مقدار یک نشان‌دهنده برش ساده خالص (دگرريختی غیر هم‌محور) است. مقادیر بین این دو حد نشان‌دهنده حالت برش عمومی است [۲۳]. تعیین تواویی به بازسازی درجه ناهم‌محوری جریان، نسبت برش محض و برش ساده و نیز تعریف بهتری از جنبش شناسی غالب جریان در پهنه‌های برشی شکل‌پذیر کمک می‌کند. تواویی براساس ریزساختارها و کرنش نهایی بررسی می‌شود.

محاسبه تواوی

به‌طور کلی، تعدادی بافت یا ساختار وجود دارند که می‌توان از



شکل ۷ نوع دگرريختی و بازتابلور غالب در بلورهای فلدسپار بهصورت تحرک مرز دانه دماپایین و برآمدگی (BLG). به فرورفتگی لبه بلورها و ریزبلورهای بازتابلور یافته در مرز آن‌ها توجه شود.



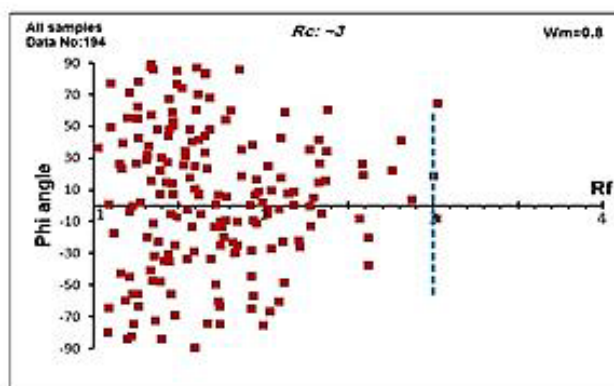
شکل ۸ چرخش دو پورفیری آواری در یک نظام برش کلی [۲۴].

بررسی کرنش و اندازه‌گیری مؤلفه چرخشی آن (تاوایی) در گرانیت میلیونیتی ده زمان با استفاده از داده‌های آماری حاصل به دست آمده از اندازه‌گیری بر بلورهای فلدسپار در محیط نرم‌افزار Ellipse Fit انجام شد. برای این منظور در مقاطع جهت‌دار، افزون بر بررسی سوی برش و نوع باز تبلور پویا، نسبت اندازه‌ها، همچنین زاویه بین محور بزرگ بلورها و اثر برگوارگی Φ برای همه پورفیری آواری‌های فلدسپار اندازه‌گیری گردید. سپس این داده‌ها در یک نمودار که محور افقی آن نشان‌دهنده مقدار R_f و محور قائم بیانگر زاویه Φ است، رسم شد. این نقاط در محل ویژه‌ای انباسته شدند که به عنوان مقدار بحرانی درجه بیضوی بودن کرنش Rc مطرح است. سرانجام، بر اساس زاویه بحرانی بیضوی کرنش [۷]، Rc که شاخصی برای تاوایی جریان است، بر اساس مقدار تاوایی میانگین (W_m) محاسبه شد:

$$W_m = (Rc^2 - 1) / (Rc^2 + 1) \quad (1)$$

روش‌های مختلفی برای برآورد تاوایی در پهنه‌های برشی با کرنش بالا بر پایه پورفیری آواری بر اساس یک چارچوب ریاضی مشابه میان R , W_m , عامل شکل (B) و زاویه بین محور بزرگ پورفیری آواری‌ها و برگوارگی ماکروسکوپی به کار رفته‌اند. این روش‌ها یک آستانه بحرانی (Rc) را معرفی می‌کنند که در مقادیر بالاتر از آن به یک جهت‌گیری ثابت می‌رسند. در واقع، Rc نسبت جسم بحرانی است که جسم در آن به طور دائم در حال چرخش است. شکل ۹ [۲۶] یکی از روش‌های بیان شده را نشان می‌دهد (شکل ۹).

تحلیل تاوایی براساس کرنش و جهت‌گیری پورفیری آواری‌های فلدسپار در این پژوهش، برای بررسی میزان تاوایی بر اساس کرنش بلورهای فلدسپار از روش زاویه بحرانی (Rc) و درجه بیضوی بودن در بلورهای فلدسپار استفاده شد. به این منظور، تعداد ۱۷ نمونه برداشت شده و در راستای موازی با خطواره کششی و عمود بر برگوارگی از آن‌ها مقاطع نازک جهت‌دار تهیه شد.

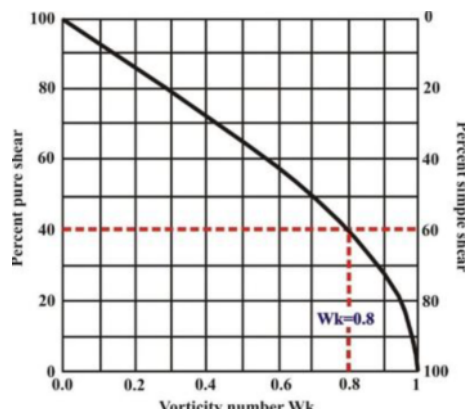


شکل ۹ بررسی تاوایی بر اساس عدد تاوایی سینماتیکی میانگین (W_m) از روی نسبت جسم بحرانی (Rc) که در موقعیت بالای آن جسم به طور دائم در حال چرخش است (برگرفته از مرجع [۷]).

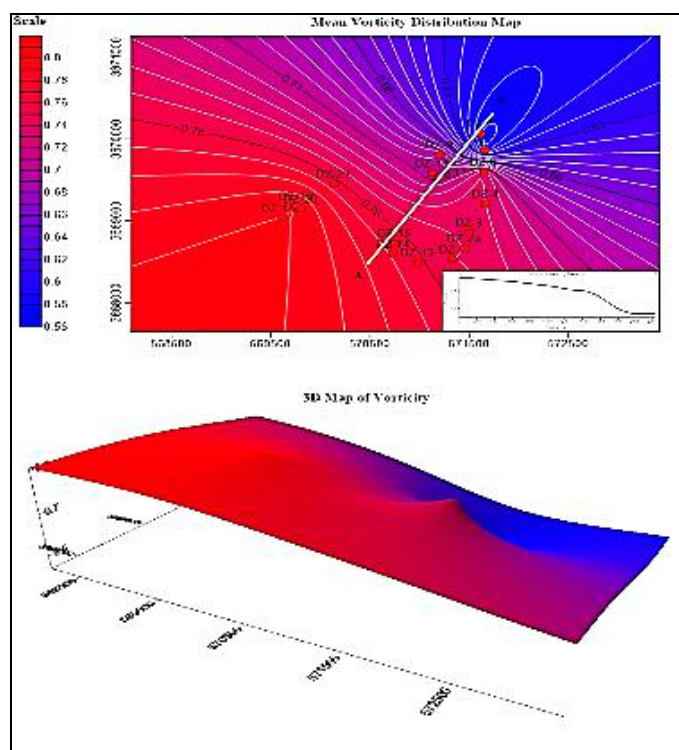
به دست آمده و ارتباط این پارامتر با نوع برش (شکل ۱۰)، میزان برش ساده در منطقه (۶۰ درصد) بر برش محض (۴۰ درصد) غالب است. همچنین برای درک بهتر چگونگی توزیع این پارامتر در منطقه، نمودار ارتباط آن با مقدار برش‌های محض و ساده، همچنین نقشه تراز آن تهیه شد (شکل‌های ۱۰ و ۱۱). با توجه به این نقشه، تاوایی در بخش جنوب غربی منطقه دارای بیشترین مقدار است، یعنی مؤلفه‌های برشی در این بخش حضور و تأثیر بیشتری دارند.

میانگین Rxz در مقاطع برابر با ۱,۶۹ و میانگین زاویه Φ برابر با ۴,۹ درجه محاسبه شد. با قرار دادن میانگین آستانه بحرانی کل ($Rc=3$)، در رابطه (۱)، مقدار تاوایی جریان برای این گرانیت میلونیتی برابر ۸,۰ به دست آمد (شکل ۹).

تاوایی برای دگرشكلى غيرچرخشى برابر با صفر بوده و برای دگرشكلى چرخشى دارای مقدار است. می‌توان افزون بر مقدار کمی این پارامتر، نوع و درصد برش غالب (برش ساده یا برش محض) در منطقه را تعیین کرد. با توجه به مقدار تاوایی



شکل ۱۰ ارتباط عدد سینماتیکی تاوایی (Wk) و مؤلفه‌های برش محض و برش ساده برای جریان دوبعدی لحظه‌ای در منطقه گرانیت میلونیتی ده زمان، برگرفته از مرجع [۲۸].



شکل ۱۱ نقشه توزیع مقادیر تاوایی در منطقه میلونیت ده زمان که بر اساس مقیاس ارائه شده بیشترین مقادیر در بخش‌های قرمزرنگ به دست آمده‌اند که نیمرخ رسم شده این افزایش را با شبیه ملایم و کاهش این پارامتر به سمت شمال شرقی را با شبیه تند نشان می‌دهد.

عملکرد هر دو مؤلفه برشی است. افزایش تاوایی به سمت جنوب غرب منطقه بیان گر افزایش برش در آن است.

قدرتانی

این مقاله بخشی از پایان نامه کارشناسی ارشد نویسنده نخست است. نگارندگان از جناب آقای مهندس یاسر حسینی برای همکاری در تهیه مقاطع نازک و همچنین جناب آقای مهندس یوسفی برای انجام امور آزمایشگاهی و همکاران عزیز قسمت نقیلیه دانشگاه تربیت مدرس برای انجام عملیات صحرایی تشکر می‌نمایند.

مراجع

- [1] Bagheri S., Stampfli G.M., "The Anarak, Jandaq and Posht-e-Badam metamorphic complex on central Iran: New geological data, relationships and tectonic implications", *Tectonophysics* 451 (2008) 123-158.
- [2] Brunet M., Korotaev M.V., Ershov A.V., Nikishin A.M., "The south Caspian basing: a review of its evolution from subsidence modelling", *Sedimentary Geology* 156 (2003) 119-148.
- [3] Samani B., "Deformation flow analysis and symmetry of Goushti shear zone, Sanandaj-Sirjan metamorphic belt, Iran", *Geopersia* 7 (1) (2017) 117-130.
- [4] Stampfli G.M., "Tethyan oceans. In: Bozkurt E., Winchester G.A., Piper G.D.A., (Eds), Tectonics and magmatism in Turkey and surrounding area", Geological Society of London, Special Publication, (2000) 1-23.
- [5] Stampfli G.M., Borel G.D., "A plate tectonic model for the Paleozoic and Mesozoic constrained by dynamic plate boundaries and restored synthetic oceanic isochrones", *Earth and Planetary Science Letters* 196, (2002)p. 17-33.
- [6] Ramezani J., Tucker R.D., "The Saghand region, central Iran: U-Pb geochronology, petrogenesis and implications for Gondwana tectonics", (2003).

بحث و بررسی

نوزعیم [۱۰] بررسی‌های ساختاری گسترهای در منطقه ده‌زمان انجام داده است. از جمله او با بررسی ریزساختاری بلورهای فلدسپار، افزون بر راستای برش غالب، دمای دگریختی تقریبی را تعیین کرده است. رحیمی دهگلان [۱۴] نیز پارامترهای کرنش در منطقه را بررسی کرده است. داده‌های کمی برداشت شده از آخرین وضعیت کرنش ثبت شده در کانی کوارتز گرانیت میلیونیتی ده زمان [۱۵] گستره تغییرات پارامتر شکل بیضوی کرنش (K) را مغایر با نتایج برآمده از پژوهش او نشان می‌دهد.

برداشت

در توده گرانیتی ده زمان، با برگوارگی میلیونیتی با موقعیت ۸۰/۸۰، SE، بر اساس شواهد ریزساختاری کانی فلدسپار، دگریختی شکنا، بازبلور غالب دمای‌پایین و درصد تنفس آوارهای موجود، بر پایه تقسیم‌بندی‌های بیان شده نوع میلیونیت گرانیت ده زمان میلیونیت اولیه- میلیونیت است. با توجه به شواهد ارائه شده در گزارش‌های پیشین [۱۰]، رخداد ترافشارشی بصورت برش چپ‌گرد وابسته به پرکامبرین پسین- کامبرین پیشین است. دمای‌پایین بودن میلیونیت‌های منطقه نشان می‌دهد که برش خوردگی هم‌زمان با فعالیت ماقمایی نیست. این شواهد، سوگیری غالب ریزساختارهای فلدسپاری را به صورت چپ‌گرد نشان می‌دهند. وجود پوروفیری آوارهای درشت فلدسپار و دگریختی شکنای آن و همچنین باز بلور پویا از نوع مهاجرت مرزدانه بیانگر دمای دگریختی حدود 450°C و یک میلیونیت درجه پایین تا متوسط است. براساس تمرکز بیشتر داده‌ها در بررسی کرنش بلورهای فلدسپار در نمودار Rf/Q و حد بحرانی به دست آمده ($\text{Rc}=3$)، عدد تاوایی برابر با ۸، بوده که نشان دهنده غلبه مؤلفه برش ساده (٪۶۰) بر برش محض (٪۴۰) و گسترش ساختار میلیونیتی در شرایط ترافشارشی است. این نتیجه بیانگر حضور بالای کرنش برشی ساده در منطقه و

- [16] Rahimi B., "Structural analysis, Origin and deformation conditions of ductile shear zones in Dehno granitoid massif, NW of Mashhad", Iranian Journal of Crystallography and Mineralogy, 18(3)(1389).
- [17] Rahimi B., "Structural, hydrothermal and mechanical evolution of Strike-slip faults in Dehno tonal massif, NW of Mashhad", Iranian Journal of Crystallography and Mineralogy, 19(4)(1390).
- [18] Trouw R.A.J., Passchier C.W., "Atlass of Mylonites", second ed., Springer, Berlin (2009).
- [19] Scholz C.H., "Frictional behavior and constitutive modeling of simulated fault gouge", Journal of Geophysical Research: Solid Earth 95 (B5), (1990) 7007-7025.
- [20] Schmid S.M., Handy M.R., "Towards a genetic classification of fault rocks: geological usage and tectonophysical implications. In: Muller DW, McKenzie IA, Weissert H (eds) Controversies in modern geology, evolution of geological theories in sedimentology, earth history and tectonics" Academic Press, London, (1991).
- [21] Sibson R.H., "Fault rocks and fault mechanism" J Geol Soc Lond 133: (1977) 191-213.
- [22] Fossen H., "Structural Geology", Cambridge University Press, New York. 1 (2010) p.441.
- [23] Twiss R.J., Moores E.M., "Structural Geology" Freeman and Co., New York, (1992) 532 pp.
- [24] Jessup M., Law R., Frassi C., "The Rigid Grain Net (RGN): An alternative method for estimating mean kinematic vorticity number (W_m)", Journal of Structural Geology 29, (2007), 411-421.
- [25] Passchier C.W., "Stable positions of rigid objects in non-coaxial flow-a study in vorticity analysis", Journal of Structural Geology 9 (5-6), (1978) 679-690.
- [26] Wallis S., "Vorticity analysis and recognition of ductile extension in the Sanbagawa belt", SW Japan. Journal of Structural Geology .Volume 17, Issue 8, (1995) 1077-1093.
- [7] Passchier C.W., Trouw R.A.J., "Microtectonics", second ed, Springer, Berlin, (2005).
- [8] Ruttner A., Nabavi M.H., Alavi M., "Geological map of Ozbak Kuh Mountain (1/100,000)" Geological survey of Iran press, (1970).
- [9] Ruttner A., Nabavi M.H., Alavi M., Eftekhar-Nzhad J., Hajain J., Valeh N., "Geological map of Ferdows (1,250,000)", Geological survey of Iran press (1977).
- [10] Nozaem R., "Deformation Analysis of the Kuh-e-Sarhangi Area at Northwest Edge of Lut Block", Ph.D. Thesis, Tarbiat Modares university, (1391).
- [11] Nozaem R., Mohajjal M., Yassaghi A., Nasrabadi M., "Structural analysis and determination of deformation conditions of the Kuh-e-Sarhangi shear zone in Deh-Zaman granite at Northwest Edge of Lut Block", Iranian Journal of Crystallography and Mineralogy, 22 (1) (1391) 15-26.
- [12] Rossetti F., Nozaem R., Lucci F., Vignaroli G., Gerdes A., Nasrabadi M., Theye T., "Tectonic setting and geochronology of the Cadomian(Ediacaran-Cambrian) magmatism in Central Iran, kuh-e-Sarhangi region (NW Lut Block)" Journal of Asian Earth Sciences, 102, (2015) 24-44.
- [13] Nozaem R., Mohajjal M., Rossetti F., Della Seta M. M., Vignaroli G., Yassaghi A., Salvini F., Eliassi M., "Post-Neogene right-lateral strike-slip tectonics at the north-western edge of the Lut - Block (Kuh-e-Sarhangi Fault), Central Iran", Tectonophysics, 589 , (2013), p 220-233.
- [14] Rahimi Dehgalan F., "Structural analysis and deformation conditions of the Ghasemabad area, Northwest of Kashmar" , Master Thesis, Tectonics, college of Geology, Geological survey, (1396).
- [15] Soudmand Z., "Strain analysis of the Deh Zaman mylonitic granite, Kuh-e-Sarhangi Area, Northwest Edge of Lut Block", Master Thesis, Tarbiat Modares university, (1397).

- [27] Whitney D.L., Evans W.E., "Abbreviations for names of rock-forming minerals", *American Mineralogist*, Volume 95 (2010) pages 185–187.
- [28] Law R.D., Searle M.P., Simpson R.L., "Strain, deformation temperatures and vorticity of flow at the top of the greater Himalayan Slab, Everest Massif, Tibet", *Journal of the Geological Society*, London 161, (2004), 305e320.